

ВЛИЯНИЕ ФЛУКТУАЦИИ СВЯЗЕЙ НА ТРАНСПОРТНЫЕ СВОЙСТВА В МАНГАНИТАХ И НИКЕЛАТАХ

C. C. Аплеснин*

*Институт физики им. Л. В. Киренского Сибирского отделения Российской академии наук
660036, Красноярск, Россия*

*Сибирский государственный аэрокосмический университет им. М. Ф. Решетнєва
660014, Красноярск, Россия*

Поступила в редакцию 23 октября 2006 г.

Для мanganитов $RMnO_3$, $R = La, Pr, Nd$, предложен механизм аномального температурного поведения кинетических коэффициентов, сопротивления и термоэдс при переходе из псевдокубической O в орторомбическую O' кристаллическую структуру. Оценен вклад изгибной и растягивающей мод октаэдра в формирование максимумов коэффициента теплопроводности, отклонение от линейной зависимости $\ln(\rho/T)$ от $1/T$ в области низких температур. В никелатах переход метал–диэлектрик вызван пиннинганием решеточных поляронов на растягивающей моде октаэдра, а низкотемпературная аномалия коэффициента теплопроводности связана с рассеянием электронов на изгибной моде октаэдра.

PACS: 72.20.-i, 72.20.Nz, 72.15.Qm

1. ВВЕДЕНИЕ

Зарядовое упорядочение часто встречается в оксидах переходных металлов и особенно привлекает интерес в связи с эффектом гигантского магнитосопротивления в мanganитах и переходом металл–диэлектрик (MI) в $ANiO_3$ ($A = Y, Pr, Nd, \dots$) [1]. Зарядовая диспропорция $Me^{+3} = Me^{+3-\delta} + Me^{+3+\delta}$ является общим свойством для семейства первоскитов $AMeO_3$ ($A = Pr, Nd, \dots$, $Me = Mn, Co, Ni$) и тесно связана с резким ростом проводимости ниже некоторой критической температуры. Так, наибольшее изменение в сопротивлении ρ случается в интервале температур $T^* < T < T_{JT}$, где T^* — температура орбитального разупорядочения, T_{JT} — температура кооперативного упорядочения ян-теллеровских искажений октаэдра [2]. Для семейства $AMnO_3$ ($A = La, Pr, Nd, \dots$) наблюдается щель в спектре одночастичных электронных возбуждений и сопротивление описывается по полярному типу: $\rho(T) = AT \exp(-E_a/T)$ в узкой области температур [2]. Как выше температуры $T > T_{JT}$, так и ниже $T < T^*$ проводимость имеет полупроводниковый ха-

рактер с энергией активации $0.3 \text{ эВ} < E_a < 1.2 \text{ эВ}$, причем для лантана энергия активации не меняется в области температур $T > T_{JT}$ и $T < T^*$. Спектральный вес оптической проводимости сдвигается в сторону низких энергий при нагревании выше температуры T_{JT} [3]. Данные нейтронов с высоким разрешением парной функции распределения атомов указывают на существование локальных искажений октаэдра, сохраняющихся в кластерах диаметром около $16 \text{ \AA} \sim 4\text{MnO}_6$ [4] без изменений угла наклона октаэдра в кластере. Авторы работы [2] объяснили аномалию сопротивления при $T < T_{JT}$ зарядовой диспропорцией ионов Mn^{3+} на Mn^{2+} и Mn^{4+} . Однако полная реакция диспропорции дает величину спина $\mu_{eff} = 5.0 \mu_B$, что отличается от экспериментальных данных для локализованного Mn^{3+} для температуры $T > T_{JT}$, $\mu = 5.22 \mu_B$ и $T < T^*$, $\mu = 4.89 \mu_B$ [5]. Независимость коэффициента термоэдс от температуры при $T > T_{JT}$ и большой фактор Дебая–Валлера [6] в окрестности $T \sim T_{JT}$ указывают на тяжелую эффективную массу носителя тока.

Ион Ni^{3+} имеет электронную конфигурацию e_g , аналогичную Mn^{3+} с сильной $p-d$ -гибридизацией. Электронное состояние иона Ni^{3+} в октаэдре близ-

*E-mail: apl@iph.krasn.ru

ко к $\text{Ni}^{2+}\underline{L}$ (дырка в лиганде на ионе кислорода $2p$ -орбитали) [7] и зарядовая диспропорция может быть представлена как $2\text{Ni}^{2+}\underline{L} \rightarrow \text{Ni}^{2+} + \text{Ni}^{2+}\underline{L}^{\delta}$, где дырки на кислороде играют решающую роль. Структурные и магнитные исследования указывают на существование больших неоднородных областей как в металлической, так и в диэлектрической фазах. Рентгеновская спектроскопия на K -линии атома Ni обнаружила различные длины связей Ni–O в пределах первой координационной сферы $\Delta\sigma_{\text{Ni}-\text{O}}^2 \approx 0.0012 \text{ \AA}^2$ [8]. В области перехода MI в семействе кристаллов ANiO_3 наблюдается плавное уменьшение спектральной плотности в области энергий $\Delta E = E - E_F \sim 0.6 \text{ эВ}$ для ионов $\text{A} = \text{Pr}, \text{Nd}$ и отсутствие изменений в $g(E_F)$ для $\text{A} = \text{Sm}, \text{Eu}$ [9]. Температурная эволюция спектральной плотности на уровне Ферми и температурное поведение сопротивления сильно различаются. Так, для соединений с $T_N = T_{MI}$ наблюдается температурный гистерезис в $\rho(T)$. Учет корреляционных эффектов с учетом смешанных d^7 -, $d^8\underline{L}$ -, $d^9\underline{L}^2$ -состояний приводит к уменьшению ковалентных эффектов с понижением температуры и к изменению электронной структуры в широкой области температур. Более адекватное описание $\rho(T)$ дает модель зарядового упорядочения, связанная с упорядочением связей Ni–O, что коррелирует с гигантским изотопическим эффектом на T_{MI} , демонстрирующим флюктуации смещений атома кислорода, которые, в свою очередь, модулируют длину связи Ni–O [10].

Семейство кристаллов ATiO_3 с электронной конфигурацией d^1 не обнаруживает перехода MI в соединениях с металлическим типом проводимости LaTiO_3 , хотя здесь также реализуется орбитальное упорядочение с орторомбическим искажением решетки ниже температуры Нееля $T_N = 146 \text{ К}$ [11], а мотт-хаббардовский диэлектрик YTiO_3 со щелью в спектре электронных возбуждений $\Delta \approx 0.8 \text{ эВ}$ имеет типичный полупроводниковый характер [12]. Оксиды металлов Ti, V в первоскитоподобной структуре не обнаруживают зарядовой диспропорции и флюктуации длины связей Ti–O, V–O отсутствуют. Анализ экспериментальных данных указывает на то, что зарядовое упорядочение и флюктуации длины связей металл–кислород возможны в соединениях AMeO_3 , где электронная конфигурация металла e_g . Образование ковалентной связи $d_{3z^2-p_z}$ (здесь и ниже орбиталь $d_{3z^2-r^2}$ обозначим как d_{3z^2}) вызовет изменение длины связи Me–O между соседними ионами катионов, которые сохраняются и выше температуры T_{JT}, T_{MI} , например в LaMnO_3 при $T = 840 \text{ К}$, $d(\text{Mn–O}_{short}) = 1.92 \text{ \AA}$, $d(\text{Mn–O}_{long}) = 2.13 \text{ \AA}$ и прак-

тически не меняются при $T > T_{JT}, T_{MI}$ [13], т. е. ниже критической температуры связи упорядочиваются. Вследствие полярности связи электронная плотность на катионе увеличится и согласно рентгеноструктурным данным вес состояний $3d^5\underline{L}^1$ и $3d^6\underline{L}^2$ составляет примерно 41 % и 9 % [14], что соответствует однодырочным и двухдырочным состояниям на ионах кислорода. Дырка на лиганде кислорода $O^{2-\delta}$ притягивается к положительно заряженному редкоземельному иону и вызывает изменение угла связей M–O–M, величина которого растет с ростом порядкового номера редкоземельного элемента в таблице Менделеева; так, $\theta = 155^\circ$ (La), 152° (Pr), 149° (Nd), 147° (Sm) [2] в RMnO_3 и $\theta = 165.2^\circ$ (La), 158.7° (Pr), 152.6° (Sm), 151.7° (Ho) в RNiO_3 [15]. Локальные искажения структуры индуцируют гибридизацию $p_{x,y}$ -орбиталей кислорода с d_{3z^2} . В результате возможен переход электрона между соседними ионами металла через ион кислорода с обменом электрона между кислородными орбиталами.

2. МОДЕЛЬ И МЕТОД РАСЧЕТА

Мы предполагаем, что зарядовое упорядочение образовано определенным упорядочением ковалентных связей $3d_{3\alpha^2} - 2p_\alpha$ и $3d_{3\alpha^2} - 2p_{\beta,\gamma}$ ($\alpha, \beta, \gamma = x, y, z$), т. е. к катиону металла $\text{Mn}^{3+}, \text{Ni}^{3+}$ могут подходить две сильные связи с интегралом перекрытия электронных орбит $V_{p_z,3z^2} \approx 2 \text{ эВ}$ [16], либо две слабые связи с $V_{p_{x,y},3z^2} \ll 2 \text{ эВ}$ или по одной связи, которые можно представить в виде M–O–M–O–M–O–M. В последнем случае отсутствует центр симметрии для интегралов перескока металл–кислород–металл, что характерно для манганитов. Сильные связи $V_{p_\alpha,3\alpha^2}$ способствуют сокращению октаэдра по направлению связи, а слабые связи $V_{p_{\beta,\gamma},3\alpha^2}$ вызывают поворот октаэдра, что можно связать с соответствующими модами колебаний $\omega_{stretching} \sim 550 \text{ см}^{-1}$ (La), $\sim 607 \text{ см}^{-1}$ (Nd); $\omega_{bending} \sim 350 \text{ см}^{-1}$ (La) [17], $\omega_{bending} \sim 450 \text{ см}^{-1}$ (Nd) [18] в RMnO_3 . Указанные выше соединения имеют p -тип проводимости, и перенос электронной плотности между p_α -орбиталью кислорода зависит от расщепления уровней энергии этих орбиталей за счет кристаллического поля, создаваемого редкоземельными ионами.

Итак, в нашей модели перенос заряда осуществляется за счет одноэлектронного перескока по узлам кислородной решетки, а электронные состояния на $3d_{z^2}$ -ионах металла локализованы в предположении, что уровень Ферми лежит между связы-

вающими и антисвязывающими орбиталями. Вклад в термоэдс и теплопроводность дают как одиночные электронные возбуждения, так и двухчастичные электрон + дырка, имитирующие перемещение ковалентной связи, которую можно описать двухэлектронными возбуждениями по кристаллической решетке и символически представить в виде $M^{+3-\delta}O-M^{+3} \Rightarrow M^{+3}O-M^{+3-\delta}$. Эффективный гамильтониан переноса заряда имеет вид

$$H = H_0 + H_1 + H_2,$$

$$\begin{aligned} H_0 &= \sum_i (\epsilon_d - \mu) c_i^+ c_i + \sum_{\alpha,i} (\mu - \epsilon_o) a_{\alpha,i}^+ a_{\alpha,i} - \\ &- \sum_{i,j} t_{1,i,j} (a_{1,i}^+ a_{2,j} + a_{1,i} a_{2,j}^+) - \\ &- \sum_{i,k,\alpha,\beta} t_{2,i,k} (c_i^+ a_{\alpha,i} a_{\beta,k}^+ c_k + c_i a_{\alpha,i}^+ a_{\beta,k} c_k^+) + \\ &+ \sum_{i,\alpha,\beta} \Delta_i (a_{1,i}^+ a_{1,i} - a_{2,i}^+ a_{2,i}) + \\ &+ \sum_{\alpha,i,j} U n_{a1,i} n_{a2,j}, \\ H_1 &= \sum_{i,k,q} g_{1,iq} (a_{1,i} c_i^+ + a_{1,i}^+ c_i) (b_{-q}^+ + b_q) + \\ &+ g_{2,kq} (a_{2,k} c_k^+ + a_{2,k}^+ c_k) (p_{-q}^+ + p_q), \\ H_2 &= \sum_{\mathbf{q}} (\omega_{1q} b_q^+ b_q + \omega_{2q} p_q^+ p_q). \end{aligned} \quad (1)$$

Здесь $\epsilon_{d,o}$ — электронный уровень в атомах 3d-металла и ионов кислорода, t_1 — интеграл перескока электрона по p_x -, p_y -орбиталям, третий член описывает перемещение ковалентной связи $V_{p_{\beta},3\alpha^2}$, ($\alpha, \beta = x, y, z$) в простой кубической решетке, и суммирование проводится по связям Me—O; c^+, a — операторы рождения и уничтожения электронов соответственно на ионах металла и кислорода, Δ — параметр кристаллического расщепления орбитального триплета на ионе кислорода, определяемый мультипольным взаимодействием ионов кислорода с редкоземельными ионами, g_1 и g_2 — параметры взаимодействия электронной плотности на связи Me—O с изгибными ω_1 и растягивающими ω_2 модами октаэдра.

Составим систему уравнений для электронов и дырок с учетом сохранения операторов второго порядка. Соответствующие уравнения, полученные в приближении случайных фаз, имеют вид

$$\begin{aligned} i \frac{d}{dt} a_{1,i} &= -(\epsilon_o - \mu - \Delta - Un_{a2}) a_{1,i} - \\ &- \sum_h t_{1i,i+h} a_{2,i+h} + \sum_q g_{1,iq} c_i (b_q^+ + b_{-q}), \\ i \frac{d}{dt} a_{2,i} &= -(\epsilon_o - \mu + \Delta - Un_{a1}) a_{2,i} + \\ &+ \sum_h t_{1i,i+h} a_{1,i+h} + \sum_q g_{2,iq} c_i (p_q^+ + p_{-q}), \\ i \frac{d}{dt} c_i &= -(\epsilon_d + \mu) c_i - \sum_q g_{1,iq} a_{1,i} (b_q^+ + b_{-q}) - \\ &- \sum_q g_{2,iq} a_{2,i} (p_q^+ + p_{-q}), \\ i \frac{d}{dt} (a_{1,i} b_{-q}) &= -(\epsilon_o - \mu - \Delta - Un_{a2} - \omega_{1,-q} n_{-q}) \times \\ &\times (a_{1,i} b_{-q}) - g_{1,iq} (1 + n_{-q} - n_{a1}) c_i, \\ i \frac{d}{dt} (a_{1,i} b_q^+) &= -(\epsilon_o - \mu - \Delta - Un_{a2} + \omega_{1,q} n_q) \times \\ &\times (a_{1,i} b_q^+) + g_{1,iq} (n_q + n_{a1}) c_i, \\ i \frac{d}{dt} (a_{2,i} p_{-q}) &= -(\epsilon_o - \mu + \Delta - Un_{a1} - \omega_{2,-q} n_{-p}) \times \\ &\times (a_{2,i} p_{-q}) - g_{2,iq} (1 + n_{-q} - n_{a2}) c_i, \\ i \frac{d}{dt} (a_{2,i} p_q^+) &= -(\epsilon_o - \mu + \Delta - Un_{a1} + \omega_{2,q} n_p) \times \\ &\times (a_{2,i} p_q^+) + g_{2,iq} (n_p + n_{a2}) c_i, \\ i \frac{d}{dt} (c_i b_{-q}) &= (\epsilon_d - \mu + n_{-q} \omega_{1,-q}) (c_i b_{-q}) - \\ &- g_{1,iq} (1 + n_{-q} - n_c) a_{1,i}, \\ i \frac{d}{dt} (c_i b_q^+) &= (\epsilon_d - \mu + n_q \omega_{1,q}) \times \\ &\times (c_i b_q^+) - g_{1,iq} (n_q + n_c) a_{1,i}, \\ i \frac{d}{dt} (c_i p_q^+) &= (\epsilon_d - \mu - n_p \omega_{2,q}) \times \\ &\times (c_i p_q^+) - g_{2,iq} (n_p + n_c) a_{2,i}, \\ i \frac{d}{dt} (c_i p_{-q}) &= (\epsilon_d - \mu + n_{-p} \omega_{2,q}) \times \\ &\times (c_i p_{-q}) - g_{2,iq} (1 + n_{-p} - n_c) a_{2,i}, \end{aligned} \quad (2)$$

где n_{-q}, n_q, n_{-p}, n_p — средние числа заполнения фононов, вследствие симметрии оптических фононных мод относительно центра зоны $n_{-q} = n_q, n_{-p} = n_p$ и определяются как $n_{q,p} = (\exp(h\omega_{1,2}/kT) - 1)^{-1}$. Параметры заполнения зон $n_c, n_{a1,2}$ определяют положение химического потенциала.

Гриновские функции для дырок $G_{\mathbf{k}}^{\alpha\alpha} = \langle \langle a_{\alpha,\mathbf{k}} | a_{\alpha,\mathbf{k}}^+ \rangle \rangle$ и поляронов $G_{\mathbf{k}+\mathbf{q}}^{cb+\alpha} = \langle \langle c_{\mathbf{k}} b_{\mathbf{k}+\mathbf{q}}^+ | a_{\alpha,\mathbf{k}}^+ \rangle \rangle$, $G_{\mathbf{k}-\mathbf{q}}^{cp\alpha} = \langle \langle c_{\mathbf{k}} p_{\mathbf{k}-\mathbf{q}} | a_{\alpha,\mathbf{k}}^+ \rangle \rangle$ имеют вид

$$\begin{aligned}
& (\omega + a_{\alpha\alpha})G_{\mathbf{k}}^{\alpha\beta} + \varepsilon_1(\mathbf{k})G_{\mathbf{k}}^{\beta\beta} - \\
& - g_{\alpha\mathbf{k}\mathbf{q}}(G_{\mathbf{k}+\mathbf{q}}^{cb^+\alpha} + G_{\mathbf{k}-\mathbf{q}}^{cb\alpha}) = 0, \\
& - \varepsilon_1(\mathbf{k})G_{\mathbf{k}}^{\alpha\beta} + (\omega + a_{\beta\beta})G_{\mathbf{k}}^{\beta\beta} - \\
& - g_{\beta\mathbf{k}\mathbf{q}}(G_{\mathbf{k}+\mathbf{q}}^{cb^+\beta} + G_{\mathbf{k}-\mathbf{q}}^{cb\beta}) = 1, \\
& g_{\alpha\mathbf{k}\mathbf{q}}(n_q + n_c)G_{\mathbf{k}}^{\alpha\beta} + \\
& + G_{\mathbf{k}+\mathbf{q}}^{cb^+\beta}(\omega + \epsilon_d + \mu + n_q\omega_{\alpha,q}) = 0, \\
& g_{\alpha\mathbf{k}\mathbf{q}}(1 + n_q - n_c)G_{\mathbf{k}}^{\alpha\beta} + \\
& + G_{\mathbf{k}-\mathbf{q}}^{cb\beta}(\omega + \epsilon_d + \mu - n_q\omega_{\alpha,q}) = 0, \\
& g_{\beta\mathbf{k}\mathbf{q}}(n_p + n_c)G_{\mathbf{k}}^{\beta\beta} + \\
& + G_{\mathbf{k}+\mathbf{q}}^{cp^+\beta}(\omega + \epsilon_d + \mu + n_p\omega_{\beta,q}) = 0, \\
& g_{\beta\mathbf{k}\mathbf{q}}(1 + n_p - n_c)G_{\mathbf{k}}^{\beta\beta} + \\
& + G_{\mathbf{k}-\mathbf{q}}^{cp\beta}(\omega + \epsilon_d + \mu - n_p\omega_{\beta,q}) = 0, \\
& \varepsilon_1(\mathbf{k}) = -2t_1 \left(\cos\left(\frac{k_x}{2}\right) \cos\left(\frac{k_y}{2}\right) + \right. \\
& + \lambda \left(\cos\left(\frac{k_z}{2}\right) \cos\left(\frac{k_x}{2}\right) + \right. \\
& \left. \left. + \cos\left(\frac{k_z}{2}\right) \cos\left(\frac{k_y}{2}\right) \right) \right), \tag{3}
\end{aligned}$$

где параметр λ описывает анизотропию интегралов пересека в плоскости и между плоскостями, ниже использовалось значение $\lambda = 0.25$. Гриновские функции электронов $G_{\mathbf{k}}^{cc} = \langle\langle c_{\mathbf{k}}|c_{\mathbf{k}}^+\rangle\rangle$ и поляронов $G_{\mathbf{k}+\mathbf{q}}^{\alpha b^+} = \langle\langle a_{\alpha,\mathbf{k}}b_{\mathbf{k}+\mathbf{q}}^+|c_{\mathbf{k}}^+\rangle\rangle$, $G_{\mathbf{k}-\mathbf{q}}^{\alpha p} = \langle\langle a_{\alpha,\mathbf{k}}p_{\mathbf{k}-\mathbf{q}}|c_{\mathbf{k}}^+\rangle\rangle$ образуют следующую систему уравнений:

$$\begin{aligned}
& (\omega + \epsilon_d + \mu)G_{\mathbf{k}}^{cc} + g_{1\mathbf{k}\mathbf{q}}(G_{\mathbf{k}+\mathbf{q}}^{1b^+} + G_{\mathbf{k}-\mathbf{q}}^{1b}) + \\
& + g_{2\mathbf{k}\mathbf{q}}(G_{\mathbf{k}+\mathbf{q}}^{2p^+} + G_{\mathbf{k}-\mathbf{q}}^{2p}) = 1, \\
& - g_{1\mathbf{k}\mathbf{q}}(n_q + n_{a1})G_{\mathbf{k}}^{cc} + (\omega + \epsilon_o - \mu - \Delta - \\
& - Un_{a2} + n_q\omega_{1\mathbf{q}})G_{\mathbf{k}+\mathbf{q}}^{1b^+} = 0, \\
& g_{1\mathbf{k}\mathbf{q}}(1 + n_q - n_{a1})G_{\mathbf{k}}^{cc} + (\omega + \epsilon_o - \mu - \Delta - \\
& - Un_{a2} - n_q\omega_{1\mathbf{q}})G_{\mathbf{k}-\mathbf{q}}^{1b} = 0, \tag{4} \\
& - g_{2\mathbf{k}\mathbf{q}}(n_p + n_{a2})G_{\mathbf{k}}^{cc} + (\omega + \epsilon_o - \mu + \Delta - \\
& - Un_{a1} + n_p\omega_{2\mathbf{q}})G_{\mathbf{k}-\mathbf{q}}^{2p^+} = 0, \\
& g_{2\mathbf{k}\mathbf{q}}(1 + n_p - n_{a2})G_{\mathbf{k}}^{cc} + (\omega + \epsilon_o - \mu + \Delta - \\
& - Un_{a1} - n_p\omega_{2\mathbf{q}})G_{\mathbf{k}+\mathbf{q}}^{2p} = 0.
\end{aligned}$$

Флюктуации связей Me–O описываются двумя операторами рождения дырки на кислороде и уничтожения электрона на ионах металла:

$$\begin{aligned}
& i\frac{d}{dt}(c_i a_{i,1}^+) = (c_i a_{i,1}^+)(n_{a1}(\epsilon_o - \epsilon_d - \Delta) - \\
& - \mu(n_c + n_{a1}) - n_{a2}(U + \epsilon_d)) - \\
& - n_{a2} \sum_{h1} t_{2,i,h1}(c_{i+h1} a_{i+h1,1}^+) - \\
& - n_{a2} \sum_{h1} t_{2,i,h1}(a_{i+h1,2}^+ c_{i+h1}) + \\
& + n_{a2} \sum_q g_{1iq}(b_q^+ + b_{-q}), \\
& i\frac{d}{dt}(a_{k,2}^+ c_k) = (a_{k,2}^+ c_k)(n_{a2}(\epsilon_o - \epsilon_d + \Delta) - \\
& - \mu(n_c + n_{a2}) - n_{a1}(U + \epsilon_d)) + \tag{5} \\
& + n_{a1} \sum_{h1} t_{2,k,h1}(a_{k+h1,2}^+ c_{k+h1}) - \\
& - n_{a1} \sum_{h1} t_{2,k,h2}(c_{k+h1}, a_{k+h1,1}^+) + \\
& + n_{a1} \sum_q g_{2kq}(p_q^+ + p_{-q}), \\
& i\frac{d}{dt}p_q = \omega_2 p_q + \sum_l g_{2l}(a_{l,2} c_l^+ + a_{l,2}^+ c_l), \\
& i\frac{d}{dt}b_q = \omega_1 b_q + \sum_i g_{1i}(a_{i,1} c_i^+ + a_{i,1}^+ c_i).
\end{aligned}$$

При выводе уравнений использовался закон сохранения заряда $M^{+3-\delta} - O^{-2+\delta}$, связанный с переносом электронной плотности с кислорода на катион металла и пренебрегалось корреляционными эффектами между разными орбитальными. Параметр δ определяет ковалентный вклад на ионе. Представим оператор двух фермиевских частиц в виде

$$\tau_k = \sum_q c_{k+q} a_{q,1}^+, \quad d_k = \sum_q a_{q,2}^+ c_{k+q}.$$

Введем гриновские функции для одного типа связей $G_{\mathbf{k}}^{\tau\tau} = \langle\langle \tau_{\mathbf{k}} | \tau_{\mathbf{k}}^+ \rangle\rangle$, $G_{\mathbf{k}}^{d\tau} = \langle\langle d_{\mathbf{k}} | \tau_{\mathbf{k}}^+ \rangle\rangle$, $G_{\mathbf{k}}^{b\tau} = \langle\langle b_{\mathbf{k}} | \tau_{\mathbf{k}}^+ \rangle\rangle$, $G_{\mathbf{k}}^{p\tau} = \langle\langle p_{\mathbf{k}} | \tau_{\mathbf{k}}^+ \rangle\rangle$. Система уравнений имеет вид

$$\begin{aligned}
& (\omega - a_{1,\tau})G_{\mathbf{k}}^{\tau\tau} + n_{a2}\varepsilon_2(\mathbf{k})G_{\mathbf{k}}^{d\tau} + \\
& + g_{1\mathbf{k}}n_{a2}G_{\mathbf{k}}^{b\tau} = G^1, \\
& n_{a1}\varepsilon_2(\mathbf{k})G_{\mathbf{k}}^{\tau\tau} + (\omega - a_{1,d})G_{\mathbf{k}}^{d\tau} + g_{2\mathbf{k}}n_{a1}G_{\mathbf{k}}^{p\tau} = 0, \\
& g_{1\mathbf{k}}G_{\mathbf{k}}^{\tau\tau} + (\omega - \omega_1)G_{\mathbf{k}}^{b\tau} = 0, \\
& - g_{2\mathbf{k}}G_{\mathbf{k}}^{d\tau} + (\omega - \omega_2)G_{\mathbf{k}}^{p\tau} = 0, \tag{6} \\
& a_{1\tau} = n_{a1}(\epsilon_0 - \epsilon_d - \Delta) - \mu(n_c + n_{a1}) - \\
& - n_{a2}(U + \epsilon_d) - n_{a2}\varepsilon_2(\mathbf{k}), \\
& a_{1d} = n_{a2}(\epsilon_0 - \epsilon_d + \Delta) - \mu(n_c + n_{a2}) - \\
& - n_{a1}(U + \epsilon_d) + n_{a1}\varepsilon_2(\mathbf{k}), \\
& \varepsilon_2(\mathbf{k}) = -2t_2(\cos k_x + \cos k_y + \cos k_z).
\end{aligned}$$

Система уравнений для гриновских функций с другим типом связей:

$$G_{\mathbf{k}}^{dd} = \langle\langle d_{\mathbf{k}} | d_{\mathbf{k}}^+ \rangle\rangle, \quad G_{\mathbf{k}}^{\tau d} = \langle\langle \tau_{\mathbf{k}} | d_{\mathbf{k}}^+ \rangle\rangle,$$

$$G_{\mathbf{k}}^{bd} = \langle\langle b_{\mathbf{k}} | d_{\mathbf{k}}^+ \rangle\rangle, \quad G_{\mathbf{k}}^{pd} = \langle\langle p_{\mathbf{k}} | d_{\mathbf{k}}^+ \rangle\rangle$$

имеет вид

$$(\omega - a_{1,d})G_{\mathbf{k}}^{dd} + n_{a1}\varepsilon_2(\mathbf{k})G_{\mathbf{k}}^{\tau d} + g_{2\mathbf{k}}n_{a1}G_{\mathbf{k}}^{pd} = G^2,$$

$$n_{a2}\varepsilon_2(\mathbf{k})G_{\mathbf{k}}^{dd} + (\omega - a_{1,\tau})G_{\mathbf{k}}^{\tau d} + g_{1\mathbf{k}}n_{a2}G_{\mathbf{k}}^{bd} = 0,$$

(7)

$$(-\omega + \omega_2)G_{\mathbf{k}}^{pd} + g_{2\mathbf{k}}G_{\mathbf{k}}^{dd} = 0,$$

$$(-\omega + \omega_1)G_{\mathbf{k}}^{bd} - g_{1\mathbf{k}}G_{\mathbf{k}}^{\tau d} = 0.$$

Химический потенциал вычисляется самосогласованно путем численного решения системы трех уравнений:

$$\begin{aligned} n_c &= \frac{1}{N} \sum_{\mathbf{k}, \mathbf{q}} \int d\omega f(\omega) \frac{1}{\pi} \text{Im } G_{\mathbf{k}, \mathbf{q}}^{cc}, \\ n_{a1} &= \frac{1}{N} \sum_{\mathbf{k}, \mathbf{q}} \int d\omega f(\omega) \frac{1}{\pi} \text{Im } G_{\mathbf{k}, \mathbf{q}}^{11}, \\ n_{a2} &= \frac{1}{N} \sum_{\mathbf{k}, \mathbf{q}} \int d\omega f(\omega) \frac{1}{\pi} \text{Im } G_{\mathbf{k}, \mathbf{q}}^{22}, \end{aligned} \quad (8)$$

где $f(\omega) = (\exp(\omega/T) + 1)^{-1}$. От суммирования по импульсам можно перейти к интегрированию с учетом затравочной электронной плотности состояний, либо провести прямое вычисление суммы по электронным и фононным импульсам по первой зоне Бриллюэна с шагом $\Delta k = 0.2$ по 10^9 точкам, что невозможно выполнить на современных компьютерах. Чтобы обойти эту проблему, предположим, что оптические моды и функция связи экситона (электрон + дырка) с фононами не зависят от импульса q . Это эквивалентно рассмотрению взаимодействия с длинноволновыми оптическими модами колебаний.

Динамическая проводимость σ вычислялась с использованием формулы Кубо – Гринвуд [19]:

$$\begin{aligned} \sigma &= \sum_{\mathbf{k}} \int d\omega \left(-\frac{\partial f(\omega)}{\partial \omega} \right) \left(\frac{1}{\pi} \right)^2 \times \\ &\quad \times (\text{Im } G_{\mathbf{k}}^{cc} + \text{Im } G_{\mathbf{k}}^{11} + \text{Im } G_{\mathbf{k}}^{22})^2, \\ L_{12} &= -Te \sum_{\mathbf{k}} \int d\omega \left(-\frac{\partial f(\omega)}{\partial \omega} \right) \omega(\mathbf{k}) \left(\frac{1}{\pi} \right)^2 \times \\ &\quad \times \left(\sum_{\alpha} \text{Im } G_{\mathbf{k}}^{\alpha\alpha} \right)^2, \\ L_{22} &= T \sum_{\mathbf{k}} \int d\omega \left(-\frac{\partial f(\omega)}{\partial \omega} \right) \omega^2(\mathbf{k}) \left(\frac{1}{\pi} \right)^2 \times \\ &\quad \times \left(\sum_{\alpha} \text{Im } G_{\mathbf{k}}^{\alpha\alpha} \right)^2, \\ S &= \frac{L_{12}}{T\sigma}, \quad k = \left(\frac{-L_{12}^2}{L_{11}} + L_{22} \right) \frac{1}{T}, \end{aligned} \quad (9)$$

где суммирование по α проводится как по одиночестичным гриновским функциям электронов и дырок, так и по двухчастичным гриновским функциям электрон + дырка, определенным из формул (6) и (7).

3. ОБСУЖДЕНИЕ РЕЗУЛЬТАТОВ

Ромбическая анизотропия в формуле (1) фактически отражает взаимодействие псевдоспиновых орбитальных моментов кислорода $\tau^z = a_1^+ a_1 - a_2^+ a_2$ с полем, создаваемым редкоземельными элементами, и приводит к расщеплению зоны на две подзоны, которые начинают расходиться с увеличением параметра ромбической анизотропии. В области щели оказываются две узкие полярные мини-подзоны, положение которых меняется в зависимости от константы электрон-фононного взаимодействия. Одна из них находится над потолком валентной зоны и образована в результате взаимодействия электронов с изгибной модой колебаний. Другой уровень лежит вблизи дна зоны проводимости и обусловлен взаимодействием электронов с растягивающими модами октаэдра. Локализованные состояния электронов на $3d$ -ионах металла находятся высоко по энергии и на рис. 1 *a, б* представлены рядом линий в интервале энергий $\omega/t = 10-15$. Типичное поведение плотности состояний для разных параметров электрон-фононного взаимодействия представлено на рис. 1. Для малых параметров $g_1 \ll 1$, $g_2 \ll 1$ полярные мини-подзоны стягиваются в узкие линии, подобные примесным состояниям в полупроводниках. Их взаимное расположение относительно

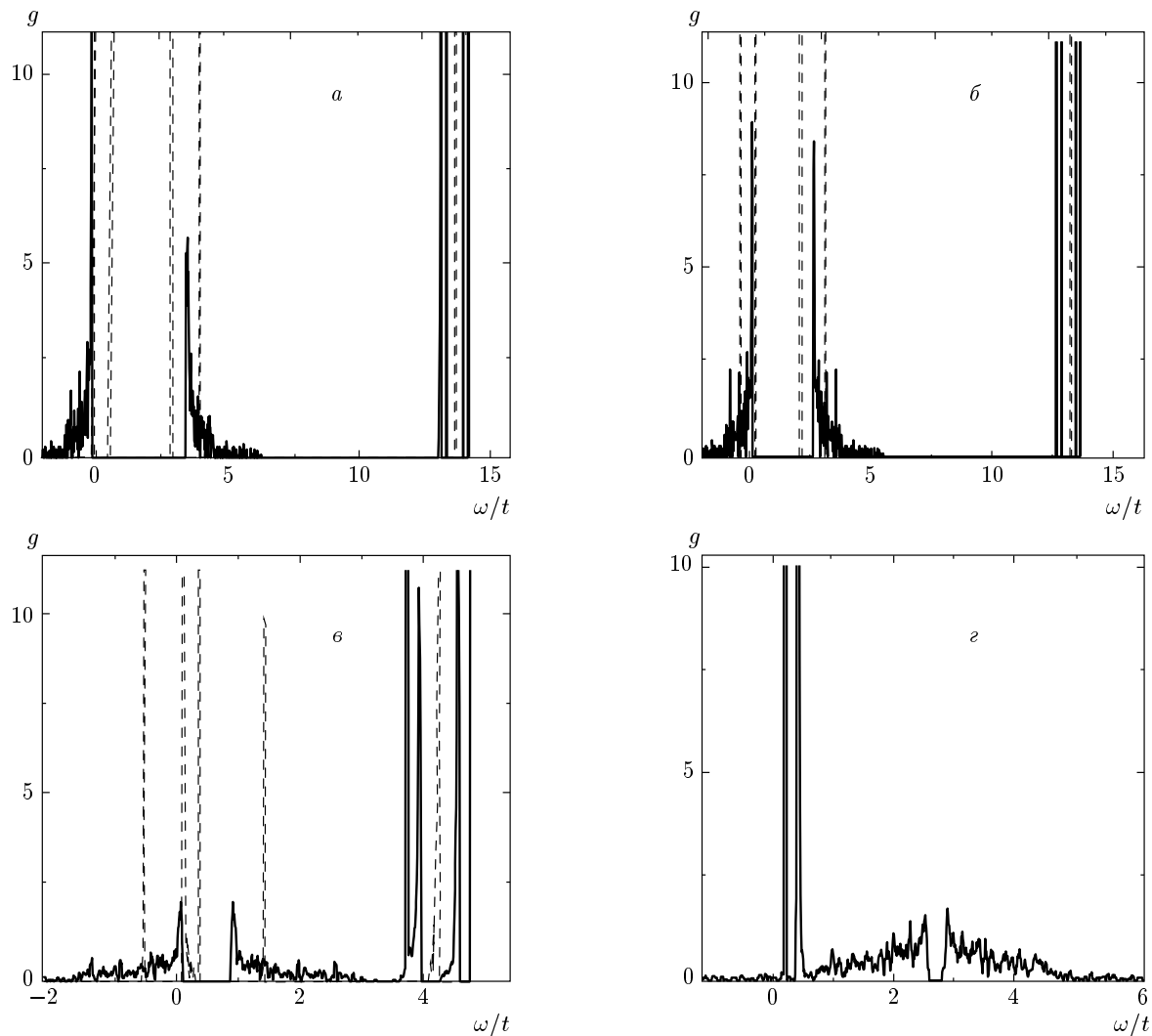


Рис. 1. Плотность состояний одночастичных электронных возбуждений для следующих параметров: $\Delta = 1.5$, $U = 3$, $\omega_1 = 0.25$, $\omega_2 = 0.4$, $g_1 = 0.02$, $g_2 = 0.3$, $n_c = 0.2$, $\epsilon_o - \epsilon_d = 15$, $T = 0.02$ (a); $T = 0.6$ (б); $\Delta = 1.0$, $g_1 = 0.6$, $g_2 = 0.05$, $n_c = 0.32$, $\epsilon_o - \epsilon_d = 5$, $T = 0.02$ (в). Плотность состояний двухчастичных возбуждений (электрон + дырка) для $\Delta = 1.5$, $U = 3$, $\omega_1 = 0.25$, $\omega_2 = 0.4$, $g_1 = 0.02$, $g_2 = 0.3$, $n_c = 0.2$, $\epsilon_o - \epsilon_d = 15$, $T = 0.02$ (г)

химического потенциала определяет температурное поведение сопротивления.

Для фононных частот, характерных для первовскитной структуры $\omega_1/t = 0.25-0.3$, $\omega_2/t = 0.45-0.5$ и параметра ромбического искажения, соответствующего ян-теллеровским искажениям решетки $\Delta/t = 1-2$, можно получить разные зависимости температурного поведения сопротивления, определяемые параметрами электрон-фононного взаимодействия и величиной ромбического искажения кристаллического поля. Уменьшение ширины щели с ростом температуры приводит к смещению потолка валентной зоны относительно химического

потенциала и при некоторой критической температуре химический потенциал перемещается в зону, что вызывает резкое уменьшение сопротивления. На рис. 2а приведены две зависимости $\rho(T)$ для двух параметров ромбической анизотропии $\Delta/t = 1.5, 1.25$ для чисел заполнения кислородной зоны $n_{a1} + n_{a2} = 0.2$. Для $\Delta/t = 1$ химический потенциал уже находится в нижней зоне. В области низких температур при некоторой температуре T_1 наблюдается минимум в температурном поведении сопротивления, связанный с достижением максимальной амплитуды перехода между полярными состояниями, так как интенсивность перехода прямо

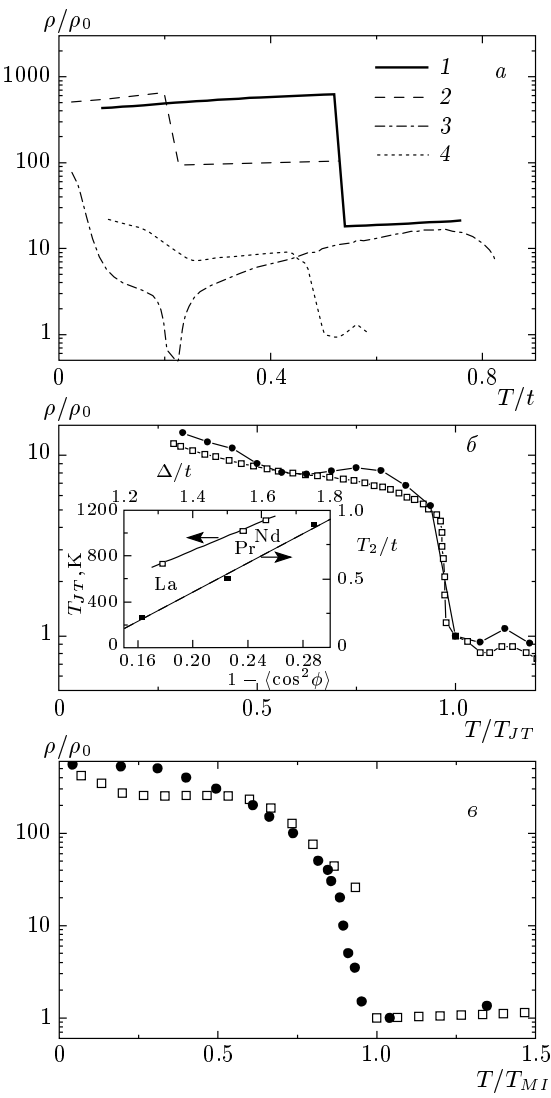


Рис. 2. а) Зависимость сопротивления $\rho(T)/\rho_0$, нормированного на константу, определяющую мерность сопротивления, от температуры для следующих параметров: $\epsilon_o - \epsilon_d = 15$, $U = 3$, $\omega_1 = 0.25$, $\omega_2 = 0.4$, $n_c = 0.2$, $g_1 = 0.02$, $g_2 = 0.02$, $\Delta = 1.5$ (1), $g_1 = 0.03$, $g_2 = 0.3$, $\Delta = 1.25$ (2), $g_1 = 0.03$, $g_2 = 0.3$, $\Delta = 1.5$ (3); $g_1 = 0.5$, $g_2 = 0.5$, $\Delta = 1.5$ (4). б) Сопротивление $\rho(T)/\rho_0(T_{JT})$, нормированное на температуру Яна–Теллера в LaMnO_3 (○) [2], и наши расчеты с параметрами $g_1 = 0.03$, $g_2 = 0.3$, $\Delta = 1.5$ (●). На вставке: температура структурного перехода T_{JT} от угла связи Mn–O–Mn ($1 - \cos^2 \phi$) (●) [2] и температура T_2 , при которой наблюдается скачок сопротивления, от величины ромбической анизотропии Δ . в) Сопротивление $\rho(T)/\rho_0(T_{MI})$, нормированное на температуру перехода металл–диэлектрик в PrNiO_3 (□) [10], и теоретические расчеты $\epsilon_o - \epsilon_d = 5$, $U = 3$, $\omega_1 = 0.25$, $\omega_2 = 0.4$, $n_c = 0.32$, $g_1 = 0.6$, $g_2 = 0.03$, $\Delta = 1.0$ (●)

пропорциональна $g_1 g_2$ (рис. 2а).

Усиление взаимодействия моды изгибных колебаний с электронами обуславливает отклонение от линейной зависимости $\ln(\rho/T)$ от $1/T$ при температуре $T_1 < T_2$, наблюдавшуюся в семействе соединений RMnO_3 , $T_1 = 350$ – 500 К, $T_2 = 750$ – 900 К и в RNiO_3 , $T_1 = 100$ – 140 К, $T_2 = 400$ – 500 К [10]. В мanganитах RMnO_3 , $R = \text{La}, \text{Pr}, \text{Nd}$, согласно нашим расчетам, химический потенциал находится внутри энергетической щели между кислородными подзонами. При нагревании величина щели уменьшается и химический потенциал попадает в нижнюю кислородную зону, вследствие чего сопротивление резко падает при температуре T_2 , которая растет с ростом величины орторомбического поля анизотропии. Это качественно коррелирует с экспериментальной зависимостью T_{JT} от величины угла связи Mn–O–Mn [2], изображенной на рис. 2. Зависимость амплитуды тепловых колебаний $u(T) - u(T_2)$ атомов кислорода, направленных перпендикулярно связи Mn–O, качественно подобна зависимости $\rho(T)$, и при $T < T_1$ амплитуда колебаний атомов кислорода, направленных поперек связи, резко уменьшается, тогда как амплитуда колебаний, направленных вдоль связи, практически не меняется с понижением температуры до $T = 300$ К [4].

Сравнение вычисленной температурной зависимости $\rho(T)/\rho_0(T_{JT})$ с экспериментальными данными для LaMnO_3 позволяет оценить интеграл перескока $t = 0.18$ эВ и получить хорошее согласие используемых в расчетах частот $\omega_1 = 0.045$ эВ, $\omega_2 = 0.076$ эВ с экспериментальными данными $\omega_{bending} \approx 0.044$ эВ, $\omega_{stretching} \approx 0.074$ эВ [17]. Параметры электрон–фононного взаимодействия $g_1 = 0.02$, $g_2 = 0.3$ находятся в интервале значений, нижняя граница которого определена при вычислении орбитальных возбуждений (орбитронов) $\hat{g}_l \sim 0.04$ эВ [20], а верхняя найдена в модели взаимодействия электронов с фононами и с локализованными спинами $\hat{g}_{up} \sim 0.2$ эВ [21]. Величина статической ян–теллеровской энергии $E_{JT} = 0.25$ эВ [21] хорошо согласуется с используемым в расчетах параметром ромбического искажения $\Delta \approx 0.27$ эВ. В LaMnO_3 при переходе через температуру орбитального упорядочения наблюдается изменение магнитного момента $\delta\mu_{eff} = 0.11\mu_B$, которое связывается с образованием зарядовой диспропорции Mn^{+3} , $\text{Mn}^{+3-\delta}$ [5], что согласуется с нашими параметрами $\delta = n_{a1} + n_{a2} = 0.2$, используемыми в вычислениях.

Термоэдс, представленная на рис. 3, также уменьшается в области критической температуры, хотя величина изменения в несколько раз отличается от

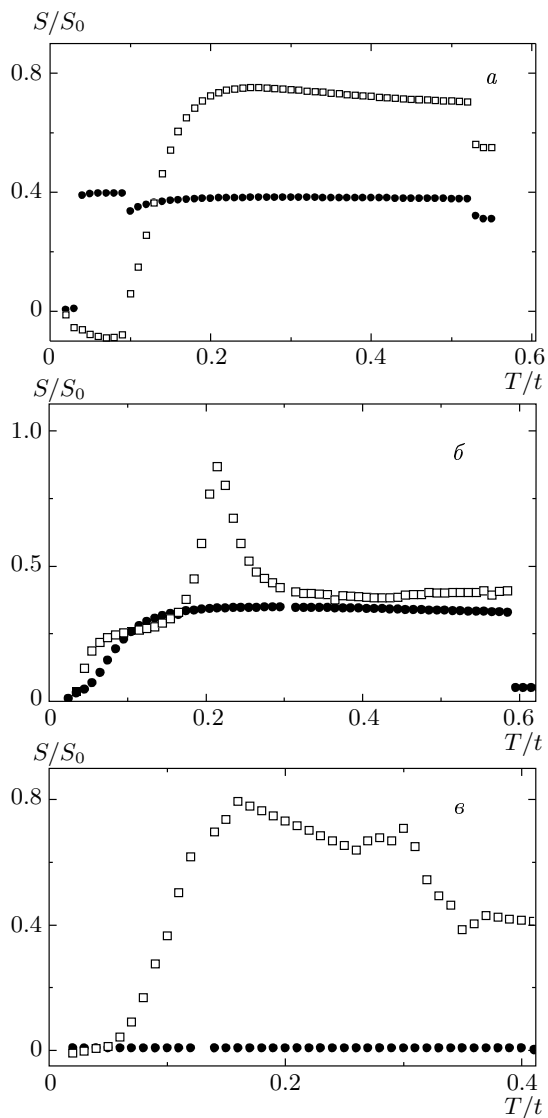


Рис. 3. Коэффициент термоэдс, нормированный на постоянную S_0 , определяющую размерность термоэдс, обусловленной одночастичными (□) и двухчастичными (●) возбуждениями для $\Delta = 1.5$, $g_1 = 0.03$, $g_2 = 0.3$ (а); $g_1 = 0.5$, $g_2 = 0.5$ (б); $\epsilon_o - \epsilon_d = 5$, $U = 3$, $n_c = 0.32$, $g_1 = 0.6$, $g_2 = 0.03$, $\Delta = 1.0$ (в)

экспериментального значения. Возможно, это связано с пренебрежением взаимодействием электронной и орбитальной подсистем с акустическими модами колебаний. Для манганитов в области температур 150–200 К возможно изменение механизма термоэдс от поляронного к двухчастичному экситонному механизму. Увеличение константы электрон-фононного взаимодействия вызывает аномалию коэффициента теплопроводности (рис. 4) и тер-

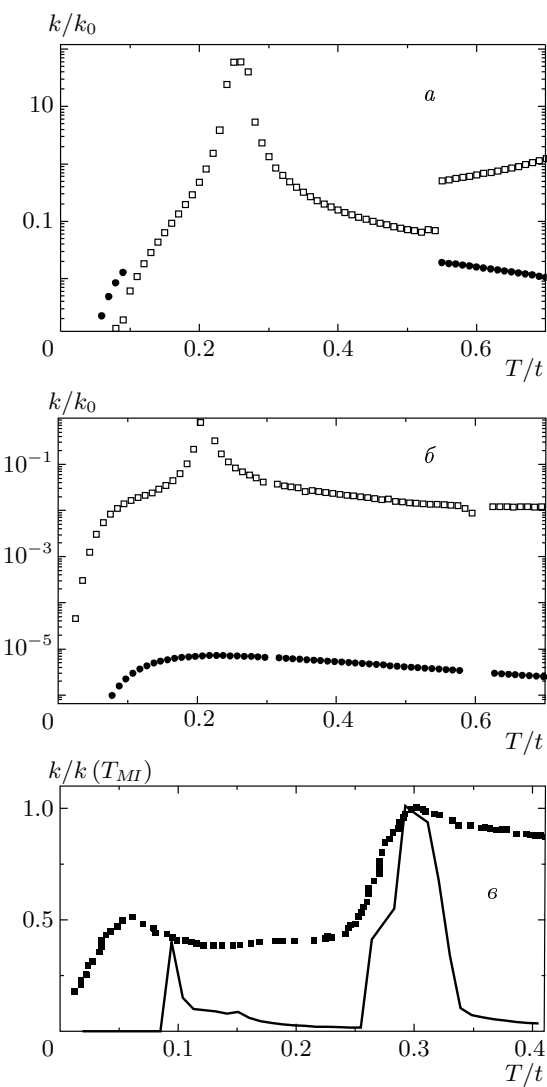


Рис. 4. Коэффициент теплопроводности, нормированный на постоянную k_0 , определяющую размерность теплопроводности, обусловленной одночастичными (□) и двухчастичными (●) возбуждениями для $\Delta = 1.5$, $g_1 = 0.03$, $g_2 = 0.3$ (а); $g_1 = 0.5$, $g_2 = 0.5$ (б); $\epsilon_o - \epsilon_d = 5$, $U = 3$, $n_c = 0.32$, $g_1 = 0.6$, $g_2 = 0.03$, $\Delta = 1.0$ (линия), PrNiO_3 (●) [10] (в)

моэдс в области температур, соответствующих минимуму сопротивления. Полярный механизм преобладает над экситонным. Плотность двухчастичных возбуждений максимальна в области изгибных и растягивающих мод октаэдра (рис. 1г).

В никелатах химический потенциал расположен в верхней части зоны согласно фотоэмиссионным спектрам. В нашей модели химический потенциал попадает в нижнюю кислородную зону, расщепленную ромбической анизотропией $\Delta/t = 1$. Переходы

электронов с нижней подзоны на полярные уровни внутри щели (рис. 1 δ) при соответствующих температурах вызывают резкое уменьшение сопротивления (рис. 2 δ) и два максимума в теплопроводности, изображенной на рис. 4 δ . Температуры соответствующих аномалий в поведении транспортных свойств зависят от величины электрон-фононного взаимодействия и частоты мод колебаний октаэдра. Двухчастичный (экзитонный) вклад в теплопроводность и термоэдс на несколько порядков меньше по сравнению с полярным механизмом транспортных свойств в никелатах.

Температура T_1 , соответствующая максимуму в температурном поведении теплопроводности (рис. 4 δ) для PrNiO_3 , $T_1 \approx 30$ К, и температура перехода металл–диэлектрик $T_2 = 130$ К [10] используются для оценки интегралов пересека $t \sim 0.1$ эВ и параметра ромбического искажения решетки $\Delta \sim 0.1$ эВ с параметрами $g_1 = 0.6$, $g_2 = 0.03$. Изменение величины сопротивления на два порядка в области перехода МИ в RNiO_3 , $R = \text{Pr}, \text{Nd}$ хорошо описывается в рамках данной модели. Такое изменение сопротивления обусловлено превалирующим взаимодействием электронов с изгибными модами октаэдра. Оптическая проводимость в инфракрасном диапазоне в никелатах объясняется за счет сильного электрон-фононного взаимодействия с тремя модами колебаний, имеющими частоты $\omega_1 \approx 0.024$ эВ, $\omega_2 \approx 0.049$ эВ, $\omega_3 \approx 0.062$ [22], где ω_2, ω_3 — антисимметричная и симметричная растягивающие моды колебаний октаэдра. Используемые в расчетах частоты колебаний $\omega_1 = 0.025$ эВ, $\omega_2 = 0.05$ эВ практически совпадают с экспериментальными.

Сильная электрон-фононная связь подтверждается колоссальным изотопическим эффектом на T_{MI} [10] и максимумом дисперсии длины связей Ni–O в области температуры перехода T_{MI} . Так, искажения октаэдра достигают максимального значения в области температуры перехода T_{MI} и с понижением температуры уменьшаются. Параметр искажения $\Delta_d = 1/6 \sum_{1,6} [(d_n - \langle d \rangle)/\langle d \rangle]^2 \sim 1.6 \cdot 10^{-5}$ для SmNiO_3 [23] и на два порядка меньше, чем в LaMnO_3 , $\Delta_d \sim 3.3 \cdot 10^{-3}$ [23]. В никелатах реализуется более сильная ковалентная связь $\text{Me}^{+3-\delta}\text{O}^{-2+\delta}$ по сравнению с мanganитами. Так, по разным оценкам, найденным из спектров резонансного рентгеновского рассеяния на K -линии никеля, $\delta = 0.42 \pm 0.04e$ в NdNiO_3 [24] и растет с уменьшением ионного радиуса редкоземельного элемента и для Ho, Y составляет $\delta \approx 0.6e$ [25]. Вес электронных состояний $3d^8L$, найденный из

фотоэмиссионных спектров, варьируется в области от 0.3 до 0.56 [26]. В вычислениях проводимости для никелатов использовались параметры, согласующиеся с экспериментальными данными — так, $\delta = n_{a1} + n_{a2} = 0.32$.

4. ЗАКЛЮЧЕНИЕ

Итак, для оксидов $3d$ -металлов проведен расчет транспортных свойств с учетом переноса одного электрона и двух электронов соответственно на ионах металла и кислорода для перовскитоподобной структуры с орторомбической анизотропией, которая приводит к образованию щели в спектре электронных возбуждений.

Формирование полярных уровней, связанных с изгибными и растягивающими модами октаэдра, внутри щели вызывает резкие изменения в сопротивлении, образование максимумов в температурном поведении коэффициента теплопроводности и термоэдс. Для мanganитов это соответствует интервалу температур 300–400 К, а для температур ниже 150 К термоэдс и теплопроводность обусловлены двухчастичным возбуждением нейтральной квазичастицы, состоящей из электрона и дырки. В никелатах переход металл–диэлектрик вызван пиннингованием поляронов на растягивающей моде октаэдра, а низкотемпературный максимум коэффициента теплопроводности связан с рассеянием электронов на изгибной моде октаэдра.

ЛИТЕРАТУРА

1. P. M. Woodward, D. E. Cox, E. Mosopoulou, A. W. Sleight, and S. Morimoto, Phys. Rev. B **62**, 844 (2000).
2. J. S. Zhou and J. B. Goodenough, Phys. Rev. B **68**, 144406 (2003).
3. K. Tobe, T. Kimura, Y. Okimomo, and Y. Tokura, Phys. Rev. B **64**, 184421 (2001).
4. X. Qiu, Th. Proffen, J. F. Mitchell, and S. J. L. Billinge, Phys. Rev. Lett. **94**, 177203 (2005).
5. J. S. Zhou and J. B. Goodenough, Phys. Rev. B **60**, R15002 (1999).
6. J. Rodriguez-Carvajal et al., Phys. Rev. B **57**, 3189 (1998).
7. T. Mizokawa, A. Fujimori, H. Namatame, K. Akeyama, and N. Kosugi, Phys. Rev. B **49**, 7193 (1994).

8. C. Piamonteze, H. C. N. Tolentino, A. Y. Ramos et al., Phys. Rev. B **71**, 012104 (2005).
9. I. Vobomik, L. Perfetti, M. Zacchigna et al., Phys. Rev. B **60**, R8426 (1999).
10. J. S. Zhou, J. B. Goodenough, and B. Dabrowski, Phys. Rev. B **67**, 020404(R) (2003).
11. P. Lunkenheimer, T. Rudolf, J. Hemberger et al. **68**, 245108 (2003).
12. J. Hemberger, H.-A. Krug von Nidda, V. Fritsch et al., Phys. Rev. Lett. **91**, 066403 (2003).
13. M. C. Sanchez, G. Subias, J. Garcia, and J. Blasco, Phys. Rev. Lett. **90**, 045503 (2003).
14. D. D. Sarma, O. Rader, T. Kachel et al., Phys. Rev. B **49**, 14238 (1994).
15. J. B. Torrance, P. Lacorre, A. I. Nazzal et al., Phys. Rev. B **45**, 8209 (1992).
16. J. C. Slater and G. F. Koster, Phys. Rev. **94**, 1498 (1956).
17. Ch. Hartinger, F. Mayr, A. Loidl, and T. Kopp, Phys. Rev. B **70**, 134415 (2004).
18. S. Jandl, A. A. Mukhin, V. Yu. Ivanov et al., Phys. Rev. B **72**, 024423 (2005).
19. K. Nagai, T. Momoi, and K. Kubo, J. Phys. Soc. Jpn. **69**, 1837 (2000).
20. J. van den Brink, Phys. Rev. Lett. **87**, 217202 (2001).
21. D. S. Dessau and Z. X. Shen, Chap. 5, Colossal Magnetoresistance Oxides, ed. by Y. Tokura, Gordon, Breach, New York (1999).
22. M. A. Mroginski, N. Massa, H. Salva, J. A. Alonso, and M. J. Martinez-Lope, Phys. Rev. B **60**, 5304 (1999).
23. J. Rodriguez-Carvajal, S. Rosenkranz, M. Medarde, P. Lacorre, M. T. Fernandez-Diaz, F. Fauth, and V. Trounov, Phys. Rev. B **57**, 456 (1998).
24. U. Staub, G. I. Meijer, F. Fauth, R. Allenspach, J. G. Bednorz, J. Karpinski, S. M. Kazakov, L. Paoletti, and F. D. Acapito, Phys. Rev. Lett. **88**, 126402 (2002).
25. J. A. Alonso et al., Phys. Rev. B **61** 1756 (2000).
26. T. Mizokawa, A. Fujimori, T. Arima, Y. Tokura, N. Mori, and J. Akimitsu, Phys. Rev. B **52**, 13865 (1995).